DOI: 10.3969/j.issn.1000-3142.2013.04.004

欧阳蒲月,刘永亮,梁永枢,等. 广藿香八氢番茄红素合成酶 PcPSY1 基因克隆和序列分析 [J]. 广西植物,2013,33(4):449-455 Ouyang PY, Liu YL, Liang YS, et al. Cloning and sequential analysis of phytoene synthase (PcPSY1) gene in Pogostmen cablin [J]. Guihaia, 2013, 33(4):449-455

广藿香八氢番茄红素合成酶 PcPSY1 基因克隆和序列分析

欧阳蒲月1,刘永亮2,梁永枢1,曾少华3,莫小路4*

- (1. 广东食品药品职业学院,广州510520; 2. 中国科学院 武汉植物园,武汉430074;
 - 3. 中国科学院 华南植物园,广州 510650; 4. 广东省中药研究所,广州 510520)

摘 要:根据已获得的广藿香转录组数据中的 PSY 转录本序列 ,利用 Primer 3 在线设计基因全长扩增引物 ,采用 RT-PCR 方法获得广藿香的八氢番茄红素合成酶($phytoene \ synthase \ PSY$) 基因。并利用在线分析平台和 生物软件对该其因进行生物信息学分析。获得的广藿香 PSY1 基因长 $1\ 550\ bp$,编码 $439\$ 个氨基酸 ,命名为 PcPSY1 ,GenBank 登录号为 KC862310; 预测了 PcPSY1 编码蛋白的结构与功能 ,且基于 PSY 基因利用 NJ 法构建了与 $21\$ 个不同物种间的进化树 ,进化树表明广藿香 PcPSY1 基因与桂花的 PSY 序列亲缘关系最近。成功克隆并分析广藿香 PcPSY1 基因的全长序列 ,为进一步阐明广藿香萜类代谢途径奠定基础。

关键词: 广藿香; 八氢番茄红素合成酶; *PcPSY*1 基因; 基因克隆; 生物信息学分析中图分类号: R931 文献标识码: A 文章编号: 1000-3142(2013)04-0449-07

Cloning and sequential analysis of phytoene synthase (*PcPSY*1) gene in *Pogostmen cablin*

OUYANG Pu–Yue¹ , LIU Yong–Liang² , LIANG Yong–Shu¹ , ZENG Shao–Hua³ , MO Xiao–Lu⁴*

Guangdong Food and Drug Vocational College , Guangzhou 510520 , China;
 Wuhan Botanical Garden , Chinese Academy of Sciences , Wuhan 430074 , China;
 South China Botanical Garden , Chinese Academy of Sciences , Guangzhou 510650 , China;
 Guangdong Research Institute of Traditional Chinese Medicine , Guangzhou 510520 , China)

Abstract: Phytoene synthase (*PSY*) is a key enzyme in plant terpenoid biosynthetic pathway. According the transcriptome dataset of *Pogostmen cablin*, one unique sequence encoding *PSY* was discovered. The primers were designed according to the transcript sequence of *PcPSY*1 from the *P. cablin* transcriptome dataset with Primer 3 online. The open reading frame of *PcPSY*1 was cloned using RT-PCR strategy. The cDNA named as *PcPSY*1 contains a 1 550 bp open reading frame and encodes a predicted protein of 439 amino acids. The GenBank accession number for this gene is KC862310. *PcPSY*1 has no signal peptide. *PcPSY*1 is highly homologous to other *PSY* protein in 21 different species and is more related to that from *Osmanthus fragrans*. This study cloned and analyzed mechanism of terpenoid biosynthesis in *Pogostemon cablin* plants.

Key words: Pogostemon cablin; phytoene synthase; PcPSY1; gene cloning; bioinformatical analysis

收稿日期: 2013-04-01 修回日期: 2013-06-15

基金项目: 广东省科技厅粤港关键领域重点突破项目(2009A03090101); 广州市科技计划基础研究项目([2013]4100076); 广东食品药品职业学院课题(2012 $_{\gamma}$ 2002)

作者简介: 欧阳蒲月(1978-) 女 湖南邵阳人 硕士 讲师 从事生物技术与药用植物资源研究 (E-mail) ouvangpy@ gdyzy. edu. cn.

^{*} 通讯作者:莫小路 .博士 .教授 .从事药用植物资源研究 (E-mail) moxl@ gdyzy. edu. cn。

类胡萝卜素是一系列呈现黄色、橙色和红色的 萜类色素物质 存在于所有的光合器中并具有抗氧 化的特性 但动物体内不能直接合成类胡萝卜素 必须从食物中摄取。八氢番茄红素合成酶(phytoene synthase *PSY*) 主要在质体中 是类胡萝卜素生物合成途径的第一个酶(Zhu et al. ,2007)。目前已证实 在番茄果实(Fraser et al. 2002)、油菜种子(Palaisa et al. 2003)、薯块茎(Ducreux et al. 2005)、拟南芥种子(Lindgren et al. 2003)、龙胆花瓣(Zhu et al. 2002)和玉米胚乳(Li et al. 2008)中 *PSY* 是类胡萝卜素生物合成中的限速酶。

广藿香(Pogostemon cablin) 为唇形科剌蕊草属植物 是中国药典收录的重要药用植物之一,以全草入药。味辛、性微温,归脾、胃、肺经。广藿香原产于菲律宾、马来西亚、印度等国家,自宋代传入我国已有 1000 余年历史(吴友根等 ,2007) ,是"藿香正气丸(水)"、"抗病毒口服液"等中成药以及大量医药、香料和化妆品的主要原料。广藿香的功效成分主要为萜类化合物和黄酮类化合物(Hu et al. ,2006; Sundaresan et al. ,2009)。广藿香提取物中的萜类化合物杀锥虫(Kiuchi et al. ,2004)、具有杀螨(Wu et al. ,2012)、抗流感病毒(Kiyohara et al. ,2012)等活性。

由于 *PSY* 是植物类胡萝卜素生物合成途径中一个限速酶(图1) 所以由 GGPP 生成八氢番茄红素这



图 1 PSY 在类胡萝卜素合成中的位置

Fig. 1 Positions of the PSY gene in carotenoid synthesis

一步骤已成为类胡萝卜素代谢途径的"瓶颈"(朱长甫等 2004)。但广藿香 *PSY* 的克隆与蛋白结构和功能方面的研究尚未见报道。本研究组在前期研究中获得大量的广藿香转录组信息,从中发现了可能参与萜类化合物中 *PSY* 基因信息。对广藿香的 *PcPSY* 基因进行克隆及生物信息学分析 ,为阐明广

藿香的萜类化合物生物合成途径奠定基础。

1 材料与方法

1.1 材料

本实验材料采自于广东食品药品职业学院药用植物标本园广藿香栽培地。选取海南广藿香展开幼叶及成熟黄褐色叶,迅速放入装有液氮的保温瓶中,后置于-75 ℃冰箱保存备用。

1.2 总 RNA 的提取

取-75 °C 保存的幼叶及成熟叶,在 $180 \sim 200$ °C 烘烤过的研钵中用液氮将其充分研磨,迅速倒入 DEPC 处理过的离心管中,待液氮挥发后,按 1 mL 试剂/100 mg 材料的比例加入适量的 Trizol,下面的步骤按说明书(RNA 提取试剂盒 TIANGEN DP421) 进行。电泳检测总 RNA 的质量,并用紫外分光光度计(NANODROP 2000c) 测定总 RNA 的浓度和纯度。 1.3 PcPSY 基因全长的获得

1.3.1 第一链 cDNA 的合成 初始反应体系的建立: Oligo dT(20 pmol/μL 广州凯基生物有限公司) 2 μL; RNA 10 μL (嫩叶及老叶 RNA 各 5 μL); dNTPmix (25 umol/L) 2 μL; RNase-free ddH₂O 12 μL 将反应体系于 65 ℃ 变性 5 min ,取出后置于冰上 1 min 以上,向初始反应体系中加入下列试剂: 5× first-strand buffer 8 μL; 0.1 mol/L DTT 4 μL; Super-script III 反转录酶(200 u/μL) (Life 公司) 2 μLH₂O 2 μL ,再将总反应体系于 42 ℃ 50 min ,70 ℃ 15 min ,于 PCR 仪上,进行第一链 cDNA 的合成。反转录产物 cDNA 可在-20 ℃保存。

1.3.2 基因克隆 反应体系: 3 μ L 的第一链 cDNA (反转录产物稀释 10 倍) 为模板; 2.5 μ L LA PCR buffer; 2 μ L 正向及反向特异引物 (10 mmol/L); 0.25 μ L LA Taq DNA 聚合酶(大连宝生物工程有限公司); 用无菌去离子水将体系补至 25 μ L。PCR 反应条件: 94 ℃变性 5 min; 94 ℃变性 30 s 57 ℃退火 30 s 72 ℃延伸 1 min 30 s 30 个循环; 72 ℃延伸 10 min。结果检测: 取 PCR 产物 5 μ L ,用 1% 琼脂糖电泳检测。

1.3.3 PCR 回收产物的纯化、连接、转化、克隆、测序将上述 PCR 产物割胶,使用 Axygen 公司凝胶回收试剂盒过柱回收。回收程序依据试剂盒提供方法进行。各取 4.5 μL 回收产物,克隆到 PMD19-T 载体过夜连接。将连接产物转入 DH-5α 大肠杆菌感

受态细胞 经涂布培养 在氯苄抗性平板上进行阳性 克隆筛选 ,各取 4~8 个进行菌液 PCR 验证 ,后各取 2 个阳性克隆进行双向测序(广州中美泰和生物技术有限公司)。

1.3.4 序列的生物信息学分析 先将所测得的序列在 NCBI 数据库中进行 BLAST 搜索 ,初步确定这些基因的类别。使用 ORF Finder (http://www.ncbi.nlm.nih.gov/projects/gorf/)进行开放阅读框预测 ,再进行 PcPSY 基因的一系列分析: 其编码蛋白的理化性质预测采用 ExPASy Proteomics Server 提供的在线工具 Protparam (http://www.expasy.ch/tools/protparam.html); PcPSY 蛋白质结构搜索分别采用在线工具 ExPASy PROSITE (http://www.expasy.ch/prosite/)和美国国立生物技术信息中心(NCBI)在线工具(http://www.ncbi.nlm.nih.gov/Structure/cdd/wrpsb.cgi)。使用 SignalP4.0Server 进行分泌蛋白 预 测 (http://www.cbs.dtu.dk/services/

SignalP/); 利 用 (http://wolfpsort.org/) WOLFPSORT 进行蛋白定位信号预测; 用 http://web.expasy.org/protscale 分析氨基酸序列/疏水性分析; http://www.cbs.dtu.dk/services/TMHMM/检测跨膜结构,使用 InterProScan (http://www.ebi.ac.uk/Tools/pfa/iprscan/)进行蛋白保守结构域搜索。采用 SWISS-MODEL (http://swissmodel.expasy.org/)进行蛋白质二级结构分析。采用MEGA5.1软件中内置的NJ法进行构建进化树。所有软件如无特殊说明,均采用默认参数。

2 结果与分析

2.1 广藿香 RNA 的提取

通过普通琼脂糖电泳检测 RNA 结果如图 2: a 所示(H1 为嫩叶 H2 为老叶)。 28 S ,18 S 的两条带清晰 , 其中 28 S RNA 亮度约为 18 S RNA 的两倍 , 说明

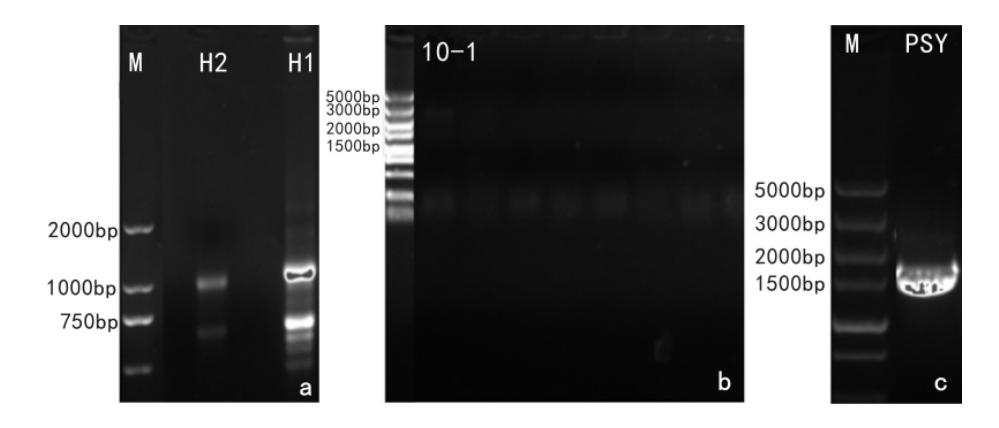


图 2 凝胶电泳 a. RNA 提取普通琼脂糖电泳检测图; b. PcPSY1 阳性克隆检测结果; c. PcPSY1 PCR 产物。

Fig. 2 Gel electrophoresis a. Total RNA from Pogostemon cablin; b. PcPSY1 PCR product; c. PcPSY1 positive clone test results.

运用该方法所提取的广藿香叶片总 RNA 完整性好,几乎 无降 解。用 紫 外 分 光 光 度 计 NANODROP 2 000 c 检测 ,H1 的 A_{260} 、 A_{280} 吸 收 值 分 别 为 1. 80、0. 41 浓度为 230 ng/ μ L; H2 的 A_{260} 、 A_{280} 吸 收值 分别为 1. 93、0. 99 浓度为 563. 3 ng/ μ L。

2. 2 PcPSY1 基因的克隆

根据广藿香转录组中长为 1 749 bp 的 Unigene9035 phytoene synthase 序列 ,利用 ORF 阅读框根据 PRIMER3 在线设计引物: 正向引物(PSY15'-TTGGGTTGTTCCAAAAGTGA-3')、反向引物(PSY25'-AAGTGAAGGATGCCCACTACA-3'),以广藿香老叶 RNA 与嫩叶 RNA 进行混合,以混合 RNA 为模板进行逆转录获得 cDNA 序列,利用 RT-PCR 扩增

得到一条 1500 bp 左右的条带,对于扩增所得条带进行回收、连接、转化、阳性克隆检测后进行测序后获得一条 1550 bp 的正确序列(图 2:c) 利用 NCBI的 ORF Finder 预测该序列含有一个完整的开放总计框,长 1550 bp ,编码 439 个氨基酸,并与其它 3 个物种的 PSY 编码蛋白进行了比较(图 3 ,图 4)。将该基因命名为 PcPSY1,GeneBank 登录号为 KC862310。

2.3 PcPSY1 基因编码蛋白特性分析

2.3.1 理化性质 PcPSY1 预测编码 569 个氨基酸,利用 ExPASy PROSITE 对 PcPSY1 基因编码蛋白的理化性质进行预测分析。推测 PcPSY1 的分子式为 $C_{2196}H_{3477}N_{605}O_{646}S_{17}$,总分子量为 49. 26 KD ,等电

```
PcPSY1
                           --MSVALLWVVSPTSEASYGTGFLDSVRDGSRILDSFRSIARCKNVIYSGRLSNGHK-NRRNFSSMSADLRYACLGGSTFENGNRLSLTSSLVATPAGEMTLSSEQRVYD
OfPSY1
                           --MSVALLWVISTTSEVSSSTGFLESVREGNRNLDSSRSISQGRNLICNGRFRRGRK-YSRNLSHPNADSRYFCQDKSNSGDGRNLSVISSMVASPAGEMTLTSEQKVYD
NtPSY2
                         {\tt MSMSVALLWIVSPNSEVSNGTGFLDSVRDGNRVFVSSRFLARGRNLMWNGRIKKGGRRQRWNFGSLIADSRYACLGGSRTENGSTFSVQSSLVASPAGEMTVSSEKKVYDDGNRVFVSSLVASPAGEMTVSSEKKVYDDGNRVFVSSLVASPAGEMTVSSEKKVYDDGNRVFVSSLVASPAGEMTVSSEKKVYDDGNRVFVSSLVASPAGEMTVSSEKKVYDDGNRVFVSSLVASPAGEMTVSSEKKVYDDGNRVFVSSLVASPAGEMTVSSEKKVYDDGNRVFVSSLVASPAGEMTVSSEKKVYDDGNRVFVSSLVASPAGEMTVSSEKKVYDDGNRVFVSSLVASPAGEMTVSSEKKVYDDGNRVFVSSLVASPAGEMTVSSEKKVYDDGNRVFVSSLVASPAGEMTVSSEKKVYDDGNRVFVSSLVASPAGEMTVSSEKKVYDDGNRVFVSSLVASPAGEMTVSSEKKVYDDGNRVFVSSLVASPAGEMTVSSEKKVYDDGNRVFVSSLVASPAGEMTVSSEKKVYDDGNRVFVSSLVASPAGEMTVSSEKKVYDDGNRVFVSSLVASPAGEMTVSSEKKVYDDGNRVFVSSLVASPAGEMTVSSEKKVYDDGNRVFVSSLVASPAGEMTVSSEKKVYDDGNRVFVSSLVASPAGEMTVSSEKKVYDDGNRVFVSSLVASPAGEMTVSSEKKVYDDGNRVFVSSLVASPAGEMTVSSEKKVYDDGNRVFVSSLVASPAGEMTVSSEKKVYDDGNRVFVSSLVASPAGEMTVSSEKKVYDDGNRVFVSSLVASPAGEMTVSSEKKVYDDGNRVFVSSLVASPAGEMTVSSEKKVYDDGNRVFVSSLVASPAGEMTVSSEKKVYDDGNRVFVSSLVASPAGEMTVSSLVASPAGEMTVSSEKKVYDDGNRVFVSSLVASPAGEMTVSSLVASPAGEMTVSSLVASPAGEMTVSSLVASPAGEMTVSSLVASPAGEMTVSSLVASPAGEMTVSSLVASPAGEMTVSSLVASPAGEMTVSSLVASPAGEMTVSSLVASPAGEMTVSSLVASPAGEMTVSSLVASPAGEMTVSSLVASPAGEMTVSSLVASPAGEMTVSSLVASPAGEMTVSSLVASPAGEMTVSSLVASPAGEMTVSSLVASPAGEMTVSSLVASPAGEMTVSSLVASPAGEMTVSSLVASPAGEMTVSSLVASPAGEMTVSSLVASPAGEMTVSSLVASPAGEMTVSSLVASPAGEMTVSSLVASPAGEMTVSSLVASPAGEMTVSSLVASPAGEMTVSSLVASPAGEMTVSSLVASPAGEMTVSSLVASPAGEMTVSSLVASPAGEMTVSSLVASPAGEMTVSSLVASPAGEMTVSSLVASPAGEMTVSSLVASPAGEMTVSSLVASPAGEMTVSSLVASPAGEMTVSSLVASPAGEMTVSSLVASPAGEMTVSSLVASPAGEMTVSSLVASPAGEMTVSSLVASPAGEMTVSSLVASPAGEMTVSSLVASPAGEMTVSSLVASPAGEMTVSSLVASPAGEMTVSSLVASPAGEMTVSSLVASPAGEMTVSTATAGEMTVSSLVASPAGEMTVSSLVASPAGEMTVSTATAGEMTVSSLVASPAGEMTVSTATAGEMTVSTATAGEMTVSTATAGEMTVSTATAGEMTVSTATAGEMTVSTATAGEMTVSTATAGEMTVSTATAGEMTVSTATAGEMTVSTATAGEMTVSTATAGEMTVSTATAGEMTVSTATAGEMTVSTATAGEMTVSTATAGEMTVSTATAGEMTVSTATAGEMTVSTATAGEMTVSTATAGEMTVSTATAGEMTVSTATAGEMTVSTATAGEMTVSTATAGEMTVSTATAGEMTVSTATAGEMTVSTATAGEMTVSTATAGEMTVSTATAGEMTVSTATAGEMTVSTATAGEMTVSTATAGEMTVSTATAGEMTVSTATAGEMTVSTATAGEMTVSTATAGEMTVSTATAGEMTVSTATAGEMTVSTATAGEMTVSTATAGEMTVSTATAGEMTVSTATAGEMTVSTATAGEMTVSTATAGEMTVS
NtPSY1
                         MSMSVALLWVVSPTSEVSNGTGLLDSVREGNRVFVSSRFLARDRNLMWNGRIKKGGR-ORWNFGSLIADPRYSCLGGSRTEKGSSFSVQSSLVASPAGEMTVSSEKKVYD
CcPSY
                          --MSVALLWVVLPISEVTNSIAFLEPVREGSRLLDSSRFVGRGKNCLCNGRLEKGKQ-QRWNSGYLNGDSRNCCLGGSRLKNRGKFSVIPNVVVSPAGEIAMSSEQKVYD
PcPSY1
                         VVLKQAALVKRKLKRNEGLEVKPDIVLPGSLGLLSEAYDRCGEVCAEYAKTFYLGTLLMTPERRRAIWAIYVWCRRTDELVDGPNASHITPTALDRWEARLDDIFKGRPF
OfPSY1
                          VVLKOAALVKROLRSSENLEVKPDIVLPGSLSLLNEAYDRCGEVCAEYAKTFYLGTLLMTPARRRAIWAIYVWCRRTDELVDGPNASHMTPEALDRWEARLEDVFRGRPF
NtPSY2
                          VVLKQAALVKRQLRSTDDLEVKPDIVVPGNLGLLSEAYDRCGEVCAEYAKTFYLGTKLMTPERRRAIWAIYVWCRRTDELVDGPNASHITPQALDRWETRLEDIFSGRPF
NtPSY1
                         VVLKOAALVKROLRSTDELEVKPDIVVPGNLGLLSEAYDRCGEVCAEYAKTFYLGTKLMTPERRRAIWSIYVWCRRTDELVDGPNASHITPOALDRWEARLEDIFSGRPF
CcPSY
                         VVLKQAALVNRQLRSREDWDVKPDIVLPGNLNILSEAYDRCGEVCAEYAQTFYLGTMLMTPERRRAIWAIYVWCRRTDELVDGPNASHITPTALDRWEARLEDVFRGHPF
PcPSY1
                          DMLDAALADTVAQFPVDIQPFRDMIEGMRMDLWKSRYKTFDELYLYCYYVAGTVGLMSVPIMGIAPESQAPTESVYNAALALGLANQLTNILRDVGEDARRGRVYLPQDE
                         DMLDAALSDTVSKFPVDIQPFRDMIE: MRMDLWKSRYKNFDELYLYCYYVAGTVGLMSVPVMGIAPESQATTESVYNAALALGIANQLTNILRDVGEDARRGRIYIPQDE
OfPSY1
                          DMLDAALSDTVSRFPVDIQPFRDMIEGMRMDLWKSRYKTFDELYLYCYYVAGTVGLMSVPVMGIAPESKATTESVYNAALALGLANQLTNILRDVGEDARRGRVYLPQDE
NtPSY2
                         NtPSY1
                         DMLDAALSDTVSKFPVDIQPFRDMIE@MRMDLKKSRYKNFDE_YLYCYYVAGTVGLMSVPVMGIAPESKATVESVYNAALA_GIANQLTNILRDVGEDATRGRIYLPQDE
CcPSY
PcPSY1
                         LAQAGLSDEDIFAGKVTDKWRIFMKKQIKRARKFFDDAENGVTELNSASRWPVWASLLLYRQILDEIEANDYNNFTRRAYVSKPKKIIALPIAYAKSLVPPLSKASSSLV
OfPSY1
                         LAQAGLSDDDIFAGKVTDKWRNFMKKQITRARKFFDDAEKGVTELSSASRWPVWASLLLYRQILDEIEVNDYNNFTRRAYVNKPKKILALPIAYAKSLVPP-SRASSPFV
NtPSY2
                          LAQAGLSDEDIFAGRVTDKWRNFMKKQIQRARKFFDESEKGVTELDSASRWPVLTALLLYRKILDEIEANDYNNFTRRAYVSKPKKLLTLPIAYAKSLVPP-NRTSSPLA
NtPSY1
                         LAQAGLSDEDIFAGRVTDKWRNFMKKOIQRARKFFDESEKGVTELDSASRWPVSTALLLYRKILDEIEANDYNNFTRRAYVSKPKKLLTLPIAYAKSLVPP-NRTSSPLA
CcPSY
                         {\tt LAQAGLSDEDIFAGKVTDQWRNFMKQQMKRARKFFDEAEKGVTELNSASRWPVWASLLLYRQILDEIEANDYNNFDRRAYVSKPKKLLALPMAYAKSLVPP--RTSSPLARGE STANDERFORM STANDER
PcPSY1
OfPSY1
                         KA--
NtPSY2
                          KT--
NtPSY1
                          KT--
CcPSY
                         KGMS
```

图 3 PcPSY 与来源于其它三个物种 PSY 基因的蛋白序列比对图 桂花(AFK66771.1)、烟草(ADK25054.1, ADZ24219.1)、中粒咖啡(ABA43898.1)。

Fig. 3 Multi-alignment of PcPSY and other PSY proteins (made by MEGA5. 10)

Osmanthus fragrans (AFK66771.1) Nicotiana tabacum (ADK25054.1, ADZ24219.1) Loffea canephora (ABA43898.1).

```
1 M S V A L L W V V S P T S E A S Y G T G F L D S V R D G S R I L D S F
 36 R S T A R C K N V T Y S G R L S N G H K N R R N F S S M S A D L R Y A
106 AGGTCTATTGCGAGGTGCAAGAATGTGATCTATAGTGGTAGATTAAGCAATGGTCATAAGAATAGGAGGAATTTTAGCTCTATGAGTGCAGATTTGAGGTATGCT
 71 C L G G S T F E N G N R L S L T S S L V A T P A G E M T L S S E O R V
106 Y D V V L K Q A A L V K R K L K R N E G L E V K P D I V L P G S L G L
316 TATGATGTGGTTCTGAAGCAGCATCTTGGTAAAGAGAAAGTTGAAACGGAACGGGTTTGGAAGTGAAGCCGGATATTGTTCTTCCTGGATCACTTGGTTTTG
141 L S E A Y D R C G E V C A E Y A K T F Y L G T L L M T P E R R A I W
421 TTGAGTGAGGCTTATGATCGTTGTGGCGAAGTATGTGCTGAATATGCCAAGACATTTTACCTTGGGACCCTGTTGATGACACCGGAGAGGCGAAGAGCTATCTGG
176 A I Y V W C R R T D E L V D G P N A S H I T P T A L D R W E A R L D D
526 GCAATATATGTCTGGTGCAGGAGAACCGATGAACTTGTTGACGGGCCAAATGCATCGCACATAACTCCAACGGCCTTGGATAGGTGGGAGGCAAGGCTGGATGAC
211 I F K G R P F D M L D A A L A D T V A O F P V D I O P F R D M I E G M
631 ATTTTCAAAGGCCGCCCTTTTGACATGCTCGATGCTGCATTAGCCGATACTGTTGCTCAGTTTCCTGTTGATATCCAGCCATTCAGAGATATGATTGAGGGAATG
246 R M D L W K S R Y K T F D E L Y L Y C Y Y V A G T V G L M S V P I M G
736 AGGATGGACCTGTGGAAATCGAGATACAAAACCTTTGATGAGTTGTATCTGTACTGTTATTATGTGGCTGGTACGGTTGGATTAATGAGTGTGCCGATTATGGGC
281 I A P E S Q A P T E S V Y N A A L A L G L A N Q L T N I L R D V G E D
841 ATAGCACCGGAATCACAAGCTCCAACGGAGAGTGTTTACAATGCTGCTTTGGCATTAGGTCTTGCCAACCAGTTGACCAATATACTCAGAGATGTTGGAGAAGAT
316 A R R G R V Y L P O D E L A O A G L S D E D I F A G K V T D K W R I F
946 GCAAGAAGGGGAAGAGTGTATCTACCTCAGGACGAGTTGGCGCAGGCGGGGCTATCGGACGAAGACATATTTGCTGGGAAAGTGACGGATAAGTGGAGAATCTTC
351 M K K O I K R A R K F F D D A E N G V T E L N S A S R W P V W A S L L
1051 ATGAAGAAGCAAATCAAGAGAGCAAGAAAATCTTCGATGATGCAGAGAATGGAGTGACAGAGCTCAACTCAGCCAGTCGATGGCCTGTGTGGGCGTCATTGCTG
386 L Y R Q I L D E I E A N D Y N N F T R R A Y V S K P K K I I A L P I A
421 Y A K S L V P P L S K A S S S L V K T
1261 TATGCAAAGTCTCTTGTTCCTCCATTATCAAAGGCCTCATCTTCCCTTGTAAAGACATGATGCTACCTAGAAATGGTTTATTCATAAGTTATAATTATCACATTA
```

图 4 PcPSY 全长 cDNA 序列及其推导氨基酸序列

Fig. 4 Full-length cDNA and deduced amino acids sequence of PcPSY

ATATATATATCTTCACAGGGAAACCACATACTTTTGTACATCATAAGGTATGACAATTCATGTAGTGGGCATCCTTCACTT

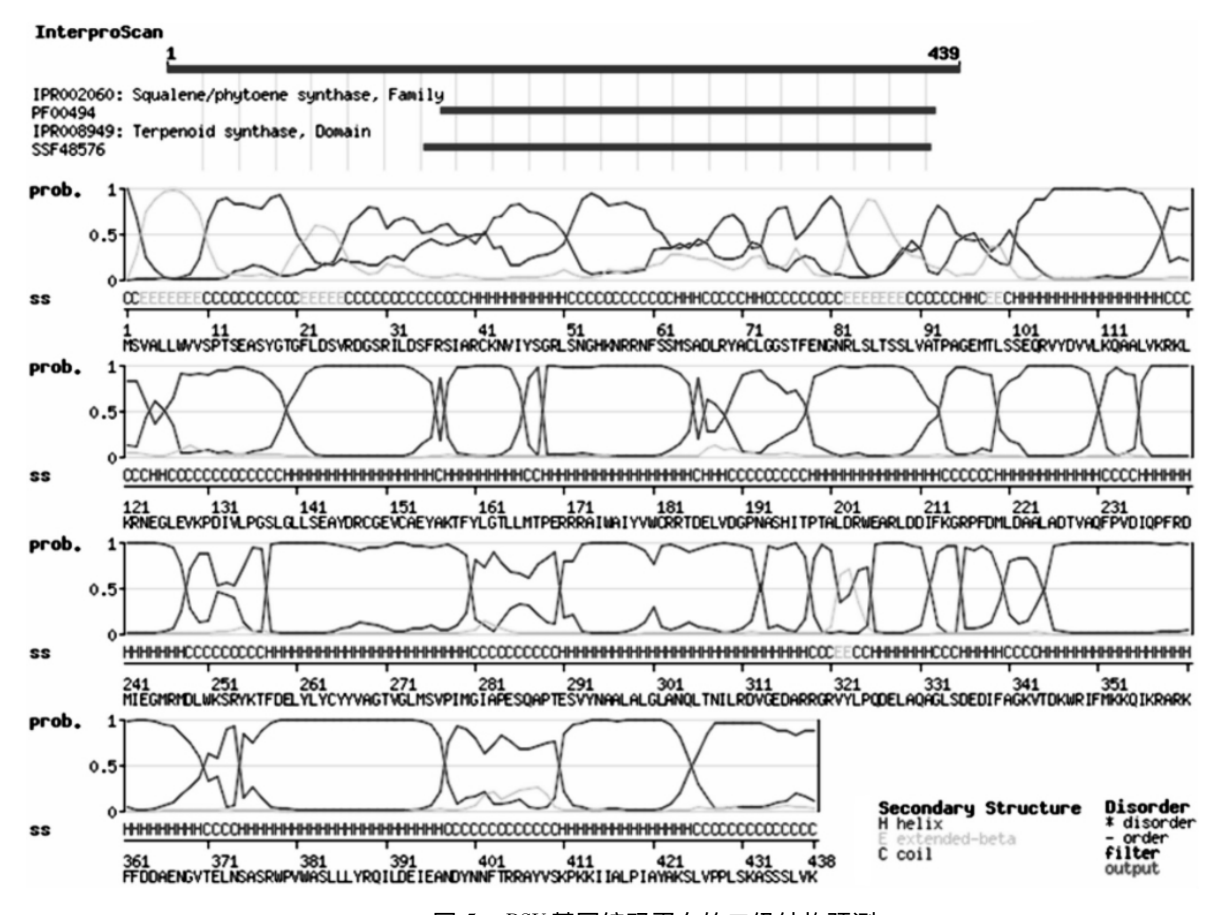


图 5 PSY 基因编码蛋白的二级结构预测

Fig. 5 Secondary structure prediction of PSY gene encoding protein

码蛋白的二级结构进行预测(图 5),可见无规则卷曲(L/C)所占比例较多, α -螺旋结构(H)与 p 片层(E)结构所占比例相当。

- 2.3.3 PcPSY1 跨膜区预测与蛋白定位信号预测用 TMHMM 预测 PcPSY1 酶蛋白 ,发现其部分肽链位于细胞膜上 ,跨膜区较明显的位置在 216 ~ 313 aa处。用 WOLFSORT 预测表明 PcPSY1 最可能定位在叶绿体中(Chlo: 10.0 nucl: 1.0 cyto: 1.0 mito: 1.0)。由此可推断该酶发挥功能的部位可能结合于生物膜上。
- 2.3.4 疏水性分析 应用 protscale 预测对八氢番茄红素脱氢酶蛋白的氨基酸序列/疏水性分析的结果表明 *PcPSY*1 多肽链第 5 位的亮氨酸具有最高的分值 2.467 疏水性最强; 第 55 位的赖氨酸具有最低的分值-3.089 亲水性最强。整个来看 其亲水性氨基酸多于疏水性氨基酸 ,为亲水蛋白(图 7)。
- 2.3.5 *PcPSY*1 结构域分析 通过 Prosite 数据库分析该蛋白质的结构位点 发现 263~278 以及 299~324 为鲨烯合酶和八氢番茄红素合成酶特异识别区

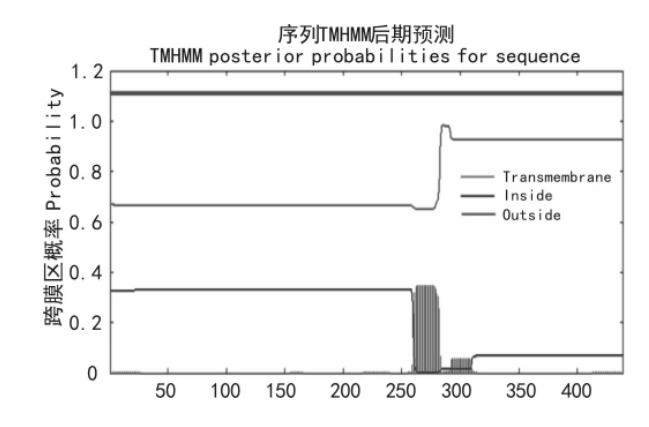


图 6 PcPSY 酶蛋白跨膜区分析

Fig. 6 Transmembrane region analysis of PSY gene protein

域。鲨烯合酶和八氢番茄红素合成酶的功能相似, 具有3个相同的保守域,而263~278以及299~324 区域是位于鲨烯合酶和八氢番茄红素合酶酶活中心 的2个保守结构域(图8)。

2.3.6 *PcPSY*1 基因系统进化 从 NCBI 数据库中 NCBI 的非冗余蛋白数据库(Nr) 中选取与 *PcPSY*1

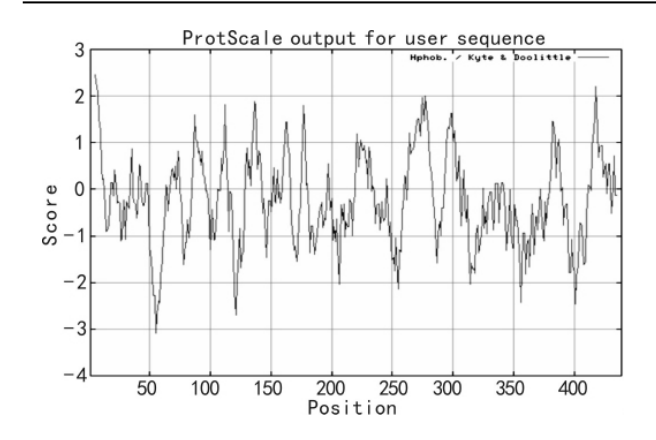


图 7 PSY 酶蛋白疏水性分析 Fig. 7 Hydrophobicity profile of PSY protein

基因编码蛋白相似性较高的 22 条蛋白序列 ,采用 MEGA5. 10 软件 ,内置的 NJ 法进行构建进化树。结果(图 9) 表明: 已克隆到的广藿香 PcPSY1 基因与桂

花(Osmanthus fragrans AFK66771.1)的 PSY 序列同 源性最高,与烟草(ADK25054.1、ADZ24219.1)、观 赏烟(Nicotiana langsdorffii × Nicotiana sanderae ABB29857. 1)、番 茄 (Solanum lycopersicum ABR57229. 1、NP _ 001234812. 1)、中 粒 咖 啡 (ABA43898. 1)、栀子(Gardenia jasminoides AEF59491. 1)、烟草属(Ipomoea sp. Kenyan BAI47572.1)、黄龙胆(Gentiana lutea ABN04109. 1、ABN04108. 1)、宁夏枸杞(Lycium barbarum AAW88383.1) 等植物的亲缘关系次之,与芒果 (Mangifera indica AFE85918.1)、美味猕猴桃(Actinidia deliciosa ACO53104. 1)、番木瓜(Carica papaya ABG72805. 1)、柿树(Diospyros kaki ACM44688. 1)、木 薯 (Manihot esculenta ACY42670.1、ACY42669.1)、葡萄(Vitis vinifera AFP28795.1)、蒺藜苜蓿(Medicago truncatula XP_

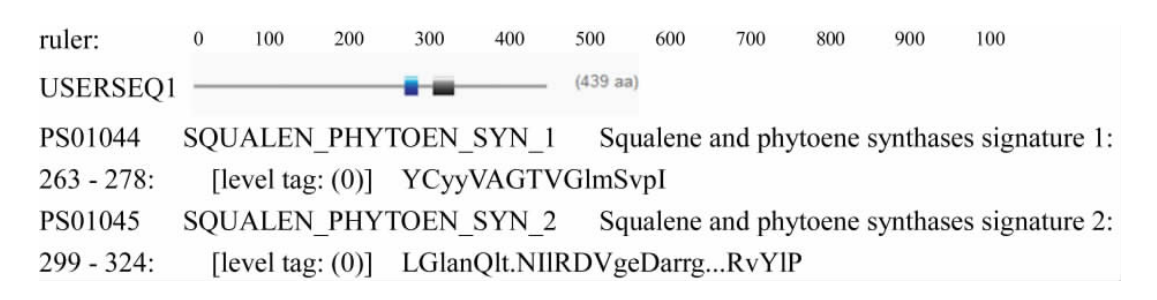


图 8 Prosite 数据库分析 PSY 基因的结构位点 Fig. 8 Analysis of PSY gene structure of the site using Prosite database

003616147.1) 等植物的 PSY 序列亲缘关系较远。

3 讨论

广藿香为经典的芳香化湿药,其芳香化浊、开胃止呕功效特别显著。萜类化合物是其主要的活性成分。本研究成功克隆了广藿香萜类合成途径中的关键酶——八氢番茄红素合成酶(PcPSY1),其 cDNA全长 1550 bp 编码 439 个氨基酸 ,并对其进行测序及相关的生物信息学分析。广藿香的 PSY 基因的特征与草莓(李永平 2009)、龙胆(芦小单 2008)、烤烟(蔡刘体等,2011)、白菜型油菜(薛蕾等,2011)、甜瓜(王淑芬,2011)、君子兰(劳杉杉等,2012)的 PSY 基因相似。基于 PSY 基因利用 NJ 法构建的 21 个不同物种间的进化树表明 PcPSY1 基因与桂花的 PSY 序列同源性最高,与烟草、番茄等植物次之。上述预测结果证明了本研究中所克隆的

PcPSY1 基因的正确性。

多数植物都表达单一的 PSY 基因。但在有些植物中,PSY 是由多个基因编码,其表达具有器官或质体特异性(Bramley ,2002),如番茄中有2个 PSY 基因,其中 PSY1 在花和果实中表达,控制番茄果实成熟过程中的八氢番茄红素合成酶,PSY2 则主要在叶中表达,控制绿色组织(包括成熟后仍表现为绿色的番茄果实)中八氢番茄红素(Bird et al. ,1991; Ray et al. ,1987)。本研究发现广藿香只有一个 PSY 基因。克隆广藿香 PSY 基因能为广藿香提供丰富的基因源,为后期利用基因工程改善广藿香奠定基础。

参考文献:

王淑芬. 2011. 甜瓜果实八氢番茄红素合成酶(PSY) 的克隆、表达分析及遗传转化[D]. 泰安: 山东农业大学

李永平. 2009. 草莓类胡萝卜素合成相关基因的克隆 [D]. 福州: 福建农林大学

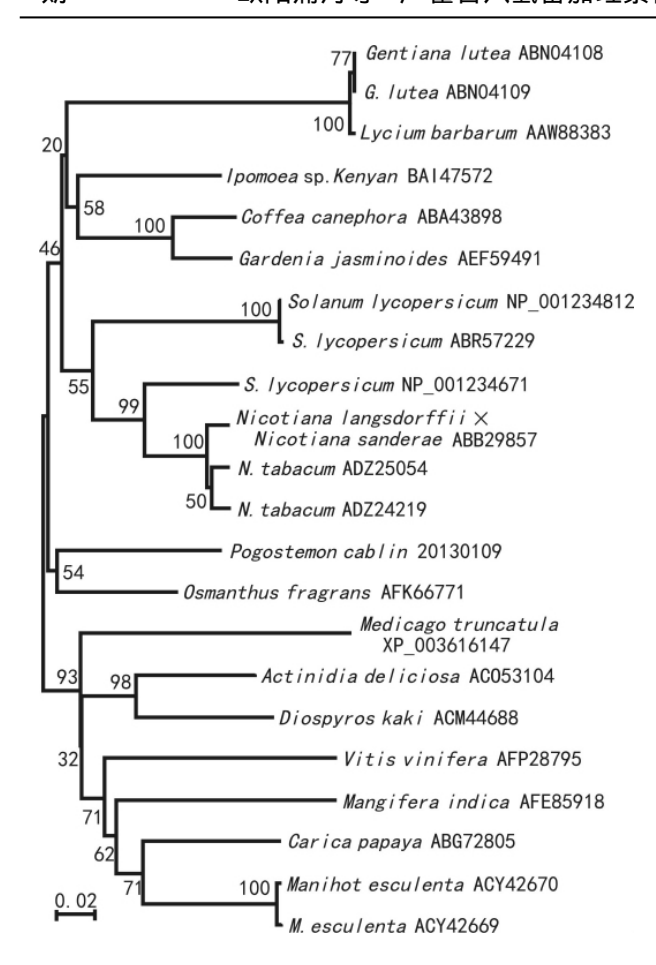


图 9 基于 PSY 基因利用 NJ 法构建的不同物种间的进化树 Fig. 9 Phylogenetic tree of different species based on PSY gene using NJ Method

芦小单. 2008. 龙胆八氢番茄红素合成酶(*PSY*) 基因的克隆与功能分析[D]. 长春: 东北师范大学

Bramley PM. 2002. Regulation of carotenoid formation during tomato fruit ripening and development [J]. J Exp Bot 53:2 107– 2 113

Bird CR Ray JA Fletcher JD et al. 1991. Using antisense RNA to study gene function inhibition of carotenoid biosynthesis in transgenic tomatoes [J]. Bio Technol 9:635-639

Cai LT(蔡刘体) "Jiang GH(蒋光华) "Lei B(雷波) *et al.* 2011. Cloning and sequence analysis of T-psyl gene from flue-cured to-bacco(烤烟八氢番茄红素合成酶基因的克隆与序列分析) [J]. *Tobacc Sci Technol* (烟草科技) 2:58-63

Ducreux LJM Morris WL Hedley PE *et al.* 2005. Metabolic engineering of high carotenoid potato tubers containing enhanced levels of β-carotene and lutein [J]. *J Exp Bot* **56**:81–89

Fraser PD Romer S Shipton CA *et al.* 2002. Evaluation of transgenic tomato plants expressing an additional phytoene synthase in a fruit-specific manner [J]. *Proc Natl Acad Sci USA* **99**(2):1 092-1 097

- Hu LF, Li SP, Cao H, et al. 2006. GC-MS fingerprint of Pogostemon cablin in China [J]. J Pharm Biomed Anal 42: 200 -206
- Kiuchi F ,Matsuo K ,Ito M ,et al. 2004. New sesquiterpene hydroperoxides with trypanocidal activity from Pogostemon cablin [J]. Chem Pharm Bull 52: 1 495-1 496
- Kiyohara H Jchino C Kawamura Y et al. 2012. Patchouli alcohol: in vitro direct anti-influenza virus sesquiterpene in Pogostemon cablin Benth. [J]. J Natl Med 66:55-61
- Lao SS(劳杉杉), Yuan ZM(苑志明), Qin ZW(秦智伟), et al. 2012. Cloning and sequence analysis of phytoene synthase cDNA from Clivia miniata Rogel (君子兰八氢番茄红素合成酶基因的克隆与序列分析) [J]. J Northeast Agric Univ (东北农业大学学报) 43(4):113-116
- Li F ,Vallabhaneni R ,Wurtzel ET. 2008. *PSY* ,a new member of the phytoene synthase gene family conserved in the poaceae and regulator of abiotic stress-induced root carotenogenesis [J]. *Plant Physiol* **146**: 1 333–1 345
- Lindgren LO Stlberg KG "Hglund AS. 2003. Seed-specific overexpression of an endogenous Arabidopsis phytoene synthase gene results in delayed germination and increased levels of carotenoids , chlorophyll and abscisic acid [J]. *Plant Physiol* "132 (2): 779 –785
- Ray JA ,Bird CR ,Maunders M et al. 1987. Sequence of pTOM5 a ripening related cDNA from tomato [J]. Nucl Acid Res ,24: 10 587
- Sundaresan V Singh SR Mishra AN pt al. 2009. Composition and comparison of essential oils of Pogostemon cablin (Blanco) Benth. (Patchouli) and Pogostemon travancoricus Bedd. var. travancoricus [J]. J Essent Oil Res , 21: 220-222
- Wu HQ Li L Li J et al. 2012. Acaricidal activity of DHEMH elerived from patchouli oil, against house dust mite, Dermatophagoides farinae [J]. Chem Pharm Bull 60: 178–182
- Wu YG(吴友根) Guo QS(郭巧生) Zheng HQ(郑焕强). 2007. Textual research on history of introdution and herbal medicine of Pogostemon cablin (广藿香本草及引种历史考证的研究) [J]. Chin J Chin Mat Med (中国中药杂志) 32(20):2 114-2 117
- Xue L(薛蕾), Yan GX(闫贵欣), Gao GZ(高桂珍), et al. 2011. Cloning and analyzing BrPSY gene of carotenoids biosynthesis in Brassica rapa L (白菜型油菜八氢番茄红素合酶基 BrPSY 的 克隆与序列分析 [J]. Chin J Oil Crop Sci (中国油料作物学 报) 33(3):210-215
- Zhu C Naqvi S Gomez-Galera S et al. 2007. Transgenic strategies for the nutritional enhancement of plants [J]. Trends Plant Sci , 12: 548-555
- Zhu C ,Yamamura S ,Koiwa H et al. 2002. cDNA cloning and expression of carotenogenic genes during flower development in Gentiana lutea [J]. Plant Mol Biol 48: 277-285
- Zhu CF(朱长甫) ,Chen X(陈星) ,Wang YD(王英典). 2004. Carotenoid biosynthesis in plants and application of its relative genes in gene engineering (植物类胡萝卜素生物合成及其相关基因工程中的应用) [J]. Acta Photophysiol Sin (植物生理与分子生物学学报) 30(6):609-618